

## شبیه‌سازی اثر گرمایش جهانی بر میانگین و رخدادهای حدی برخی متغیرهای هیدرواقلیمی در حوضه‌ی آبریز شاندیز

الهام فهیمی نژاد<sup>۱</sup>، دانشجوی دکتری آب و هواشناسی (گرایش تغییرات آب و هوایی)، دانشگاه حکیم سبزواری، سبزوار، ایران.

محمد باعقیده، دانشیار گروه آب و هواشناسی و ژئومورفولوژی، دانشگاه حکیم سبزواری، سبزوار، ایران.

ایمان باباییان، استادیار اقلیم شناسی، گروه تغییرات اقلیمی، پژوهشکده اقلیم شناسی مشهد، مشهد، ایران.

علیرضا انتظاری، استادیار گروه آب و هواشناسی و ژئومورفولوژی، دانشگاه حکیم سبزواری، مشهد، ایران.

پذیرش نهایی: ۱۳۹۷/۱۰/۲۲

دریافت مقاله: ۱۳۹۶/۱۲/۲۱

### چکیده

دو مشخصه بارز اقلیم آینده تغییر در میانگین و مقادیر حدی متغیرهای هیدرواقلیمی می‌باشد، از این رو شبیه‌سازی رفتار اقلیم حوضه آبریز شاندیز که یک منطقه گردشگری مهم در شمال شرق کشور است در دهه‌های آینده نقش مهمی در شناخت وضعیت اقلیم و آسیب پذیری احتمالی این مناطقه از تغییر اقلیم دارد. هدف از این پژوهش شناسایی مقادیر حدی دما، بارش و تغییرات رواناب حوضه آبریز شاندیز و مقایسه شرایط پایه و آینده است. برای نیل به این هدف از آمار روزانه دما و بارش روزانه ۳۰ سال آماری (از ۱۹۶۱-۱۹۹۰) ایستگاه سینوپتیک مشهد استفاده شده است. همچنین برای پیش‌بینی بارش، دمای حداقل و حداکثر در آینده از داده‌های مدل گردش کلی CanESM<sup>۲</sup> تحت سه سناریوی انتشار  $RCP4.5$ ,  $RCP6.0$ ,  $RCP8.5$  برای دوره ۲۰۴۱-۲۱۰۰ استفاده شده است. برای ریزگردانی خروجی مدل CanESM<sup>2</sup> از روش آماری SDSM و RClimDex استخراج مقادیر حدی بارش از نرم افزار RClimDex استفاده شده است. نتایج نشان داد که در دوره آینده نه تنها در بارش ایستگاه مشهد بلکه در الگوی بارش نیز تغییراتی رخ خواهد داد. بر اساس نتایج بدست آمده، بارش سالانه در دهه‌ی ۲۰۷۰-۲۰۴۱، بین ۳۷ تا ۵۴ درصد نسبت به دوره‌ی دیدبانی افزایش می‌یابد، و میزان افزایش بارش دهه‌ی ۲۱۰۰-۲۰۷۱ بین ۵۲ تا ۶۶ درصد افزایش می‌یابد. تعداد رخداد بارش‌های روزانه با شدت‌های ۲۰، ۳۰ و ۴۰ میلیمتر در روز، بارش‌های با آستانه‌های صدک ۹۵ و ۹۹ دوره‌های آتی در تمامی فصول ایستگاه مشهد نسبت به دوره مشاهداتی (۱۹۶۱-۱۹۹۰) افزایش خواهند یافت. در دهه‌های آینده میانگین دمای حداکثر مشهد نسبت به دوره مشاهداتی بین ۶/۴ - ۰/۶ درجه سلسیوس و میانگین دمای حداقل بین ۱/۵ تا ۴/۲ درجه سلسیوس افزایش خواهد یافت. از مدل SWAT جهت ارزیابی اثرات تغییراتی بر میزان رواناب حوضه استفاده گردید. بدین منظور ابتدا این مدل با استفاده از داده ایستگاه هیدرومتری شاندیز برای دوره ۲۰۱۲-۲۰۰۳، واسنجی و اعتبارسنجی شد که مقادیر  $R^2$  به ترتیب ۰/۶۵ و ۰/۵۲ بدست آمد. در ادامه با بکارگیری داده‌های ریزمقیاس شده مدل CanESM<sup>2</sup> در مدل SWAT، تغییرات رواناب خروجی از حوضه طی دوره‌های ۲۰۴۱-۲۰۷۰ و ۲۰۷۱-۲۱۰۰ شبیه‌سازی گردید. اعمال نتایج تغییرات بارش و دمای حوضه در دهه‌های آینده بر مدل SWAT نشان داد که دبی حوضه شاندیز در دهه‌های آینده بین ۲ تا ۱۰۴ درصد افزایش خواهد یافت.

واژه‌های کلیدی: گرمایش جهانی، مخاطرات هیدرواقلیمی، مدل SWAT، SDSM، GCM، حوضه آبریز شاندیز.

## مقدمه

غالب جوامع علمی فرایندهای محیطی را که در محیط زندگی انسان به صورت متخاصل رخ می دهد و انسان ها کنترل اندکی بر آن دارند، با عنوان مخاطرات محیطی مورد بحث قرار می دهند (Bry, ۲۰۰۵). بخش قابل توجهی از مخاطرات محیطی را رویدادهای حدی آب و هوایی تشکیل می دهند. پدیده های حدی اقلیمی از قبیل، بارش شدید (سیل ها)، بادهای تند (طوفان ها)، دماهای بالا (امواج گرمایی) و غیره به سبب ندرت در وقوع و عدم سازگاری جوامع بشری و اکوسیستم با آن ها خسارات زیادی را موجب می شوند (Diaz and Murnane, ۲۰۰۸). افزایش رخدادهای حدی یکی از شش چالش بزرگ شناسایی شده توسط برنامه جهانی تحقیقات اقلیمی (WCRP) میباشد. نتایج بدست آمده توسط منابع مختلف نشان میدهد رخدادهای حدی اقلیمی در طول دهه های اخیر افزایش معنی دار داشته اند که این وضعیت موجب افزایش مخاطرات اقلیمی در دهه های آینده می گردد (Ha and Yun, ۲۰۱۲; Fan and Xiong, ۲۰۱۵; Seneviratne et.al, ۲۰۱۴; IPCC, ۲۰۱۳) بیشتری نسبت به تغییرات در میانگین های فصلی دارند و افزایش وقوع رخدادهای حدی بر زیرساختهای اجتماعی و اقتصادی از قبیل کشاورزی، سلامت، منابع آب، خدمات عمومی تاثیر زیادی می گذارد (Easterling, ۲۰۰۰). در سالهای ۱۹۹۸ تا ۲۰۰۱، برنامه تحقیقات اقلیمی (WCRP/CLIVAR) و کارگروه آشکارسازی تغییراقلیم<sup>۱</sup> (WGCCD)، با همکاری سازمان جهانی هواشناسی<sup>۲</sup> (WMO) کارگروهی با هدف تحقیق درباره شیوه های تولید شاخص های حدی اقلیمی با مقیاس روزانه، محدودیت ها و کاربردهای مختلف آنها در بخش های مختلف در سطوح جهان و محلی تشکیل گردید. نتایج کارگروه تخصصی ابتدا منجر به معرفی و توسعه شاخص های حدی متعددی با ویژگیهای متفاوتی از قبیل فراوانی روزانه از قبیل فروانی روزانه (روزهای همراه با بارش سنگین)، صدک ها (صدک ۹۰ ام حداقل دما) و از داده های روزانه دما و بارش گردید، سپس با تحلیل اثرات تغییراقلیم در مناطق مختلف جهان مشخص گردید مناطق مختلف از قبیل آمریکای شمالی، استرالیا، اروپا و .... روندهای متفاوتی را تجربه می کنند (Brunetti et al, ۲۰۰۴; Klein et al, ۲۰۰۲; Zhang, ۲۰۰۶; Folland et al, ۲۰۰۲; Alexander et al, ۲۰۰۶; Beniston et al, ۲۰۰۷; Nandintsetseg et al, ۲۰۰۷; Meehl et al, ۲۰۰۰; Liu et al, ۲۰۰۸; Bell et al, ۲۰۰۴; Karl and Trenberth, ۲۰۰۳). شکیبا و همکاران، ۱۳۸۸. رحیم زاده و همکاران<sup>۳</sup>). هیات بین الدول تغییراقلیم (IPCC) سناریوهای مختلفی را برای پیش یابی چگونگی ادامه روند افزایش گازهای گلخانه ای ارائه کرده است که بر مبنای سناریوهای مختلف، تا پایان قرن ۲۱ میلادی غلظت دی اکسید کربن دو برابر خواهد شد (Grubler, ۲۰۰۷). در حال حاضر مدل های گردش عمومی (GCM)، دقیق ترین ابزار برای کمی کردن اثر (Hoogwijk, ۲۰۰۵). تغییراقلیم بر روی پارامترهای هواشناسی هستند (IPCC, ۲۰۰۷). هدف این مدل ها شبیه سازی همه ویژگی های سه بعدی آب و هوا می باشد (Hoogwijk, ۲۰۰۹). مزیت GCMs این است که می توانند اطلاعات منطقه ای را برای همه مناطق جهان ارائه دهند. مدل های گردش عمومی هیچ گاه نمی توانند مستقیماً برای پیش بینی های منطقه ای استفاده شوند. آن ها نیازمند ریزمقیاس گردانی هستند تا با اعمال رفتارهای محلی در آن ها پیش بینی هایشان در مقیاس محلی بهبود یابند. خروجی های مدل های گردش عمومی را می توان به دو صورت دینامیک و آماری ریزمقیاس کرد (Murphy, ۱۹۹۹). در تهیه گزارش پنجم که به تدریج از سال ۲۰۱۴ تا ۲۰۱۳ منتشر شد، از برونداد مدل های سری CMIP<sup>۴</sup> استفاده گردید. از مدل های سری CMIP<sup>۴</sup> در هیچ یک از گزارش های IPCC

<sup>۱</sup>. World Meteorological Organization

استفاده نشد، که انتخاب این سری از مدل ها به عهده برنامه جهانی پژوهش های اقلیمی سازمان جهانی هواشناسی-یعنی WCRP بوده است. این مدل ها از سناریوهای جدید RCP ، شامل RCP های ۲.۶، ۴.۵ و ۸.۵ استفاده می کنند. تفاوت عمده سناریوهای RCP و SRES در این است که سناریوهای RCP خط سیر توازن واداشت تابشی ناشی از افزایش گازهای گلخانه ای را تا سال ۲۱۰۰ بر حسب وات بر متر مربع مشخص میکند، مثلا در سناریوی RCP<sup>۸,۵</sup> ، توازن واداشت تابشی در منتهی الیه جو و در سال ۲۱۰۰ حدود ۸.۵ وات بر متر مربع خواهد بود یعنی تابش ورودی منهای خروجی از جو مثبت ۸.۵ وات بر متر مربع است که این انباشت ۸.۵ وات بر متر مربع در سامانه جو منجر به افزایش دمای کره زمین می گردد، اما سناریوهای سری SRES خط سیر غلط گازهای گلخانه ای را مشخص می کنند . بنابراین با توجه به انتشار سناریوهای جدید، هر کار تحقیقی هم که بعد از انتشار این داده های انجام می شود، بایستی بر اساس داه های جدید باشد مگر اینکه بخواهیم مطالعات تطبیقی انجام بدھیم. لذا داوران مجلات و پایان نامه این موضوع را مد نظر قرار می دهند و اگر کاری بر اساس سناریوهای قدیمی انجام گیرد، قطعاً جای ایجاد و اشکال دارد. با انتشار سناریوهای جدید در سالهای اخیر تمرکز زیادی بر استفاده از آنها شده است. ( and Stocker, ۲۰۱۰; IPCC, ۲۰۱۴; Kharin et al, ۲۰۱۳; Van and Garbrecht, ۲۰۰۳; Taylor et al, ۲۰۱۲; Plattner et al, ۲۰۱۰; Moss Marengo et al, ۲۰۱۴ et al, ۲۰۱۴) در گزارش ارزیابی پنجم IPCC و برخی تحقیقات دیگر، پیش بینی شده است بر اساس سناریوهای RCP، کمینه های دما نسبت به بیشینه های دما افزایش، فراوانی روزهای یخبندان کاهش و فراوانی شب های حاره ای افزایش معنی داری در دهه های آینده خواهد داشت ( Collins, ۲۰۱۳). به دنبال توسعه سناریوهای RCP، برخی از محققین با استفاده از پیش بینی روند دما در سناریوهای مختلف، اثرات آن ها را بر موضوعات مختلف از قبیل منابع آب، کشاورزی و ..... بررسی نمودند ( Deryng et al, ۲۰۱۴.)

محققین زیادی در این سالها روند تغییرات دما را با در نظر گرفتن اثرات متفاوتی که بر بخش های مختلف از قبیل کشاورزی دارد بررسی نمودند و با توجه به تفاوت های منطقه ای که در شاخص های حدی دما مشاهده نمودند دریافتند شاخص های بیشینه و کمینه دما با شبیه های خطی متفاوت، افزایش معنا داری در آینده خواهد داشت. (Kharin et al, ۲۰۱۳; Chamhati and Bahir, ۲۰۱۱; Muhire and Ahmad, ۲۰۱۶) در تحقیق بدرال و همکاران (۲۰۱۶) ۲۴ شاخص حدی آب و هوایی شامل دمای حداکثر و حداقل روزانه و بارش روزانه در شمال تایلند با استفاده از داده های ریز مقیاس شده مدل HadCM PRECIS توسط برای دوره آتی (۱۹۶۰-۲۱۰۰) مورد مطالعه قرار گرفت. بر اساس تحقیق یادشده، شاخص ها حاکی از افزایش قابل توجه در تعداد روزهای تابستانی و شب های گرم‌سیری در آینده داشتند. کاهش قابل ملاحظه ای در تعداد روزها و شب های سرد نیز در منطقه مورد مطالعه انتظار می رود، و کاهش ناچیز در میزان بارش سالانه، تعداد روز با بارش بیش از ۱۰ و ۲۰ میلی متر برآورد شد.

دولابیان (۱۳۹۶) در مطالعه ای اثرات تغییر اقلیم بر دما و بارش مناطق مختلف کشور بر اساس سناریوهای RCP را بررسی نمودند. در این مطالعه با بررسی خروجی ۲۵ مدل گردش عمومی جو از سری مدل های CMIP<sup>۵</sup> نتایج نشان داد که سیر صعودی دما در تمامی مناطق مورد مطالعه وجود دارد. بر خلاف دما، رژیم بارش، در مناطق و

سناریوهای مختلف، متفاوت می‌باشد. بارش در مناطق جنوب غرب، افزایش و در مناطق جنوب شرق، کاهش و عدم تغییر در شمال غرب را نشان می‌دهد.

اثرات تغییراقلیم بر منابع آب به عنوان موضوعی چالش برانگیز در بسیاری از مناطق خشک می‌باشد. گرم شدن کره زمین منجر به تغییر بیلان تابش از سطح زمین، گردش اتمسفر، تغییر توزیع مکانی و زمانی شدت بارش شده و به چرخش بخار آب سرعت می‌بخشد، همچنین ویژگی‌های هیدرولوژیکی از قبیل تبخیر، رواناب و آب خاک را تحت تاثیر قرار می‌دهد (Merritt et al, ۲۰۰۶; Kundzewicz et al, ۲۰۰۷). با توجه به آن که آب و مسائل مربوط به آن از جمله دغدغه‌های اصلی بشر در دوره‌های آتی به حساب می‌آید جهت مدیریت هرچه بهتر، ضرورت دارد وقوع تغییرات اقلیمی و میزان تاثیرگذاری آن بر منابع آب ارزیابی گردد.

استفاده از مدل‌های هیدرولوژیکی در برنامه‌ریزی و مدیریت منابع آب و تحلیل تأثیر تغییرات آب و هوایی بر اجزای آب به تازگی تبدیل به یک قانون گردید (Srinivasan et al, ۱۹۹۸; Mill et al, ۲۰۰۵; Abbaspour et al, ۲۰۰۹; Faramarzi et al, ۲۰۰۹) توجهی بر میزان آب قابل دسترس، تنفس آبی و تقاضای آب داشته باشد. Abbaspour et al, ۲۰۰۰; Vörösmarty et al, ۲۰۱۰) انتخاب یک مدل از مدل‌های هیدرولوژیکی مختلف که بتواند تأثیرات تغییراقلیم را با توجه به شرایط مختلف مدیریت کشاورزی و منابع آبی بر روی سیستم منابع آب یک منطقه شبیه‌سازی کند، تأثیر بسرایی اثرات این پدیده و تصمیم‌گیری بهتر سازمان‌ها و ذی نفعان مربوط دارد. بررسی تحقیقات انجام شده نشان داده است که مدل SWAT به دلایلی مانند بدون هزینه بودن و قابلیت شبیه‌سازی هم‌زمان اثرات متقابل متغیرهای هیدرولوژیکی و مدیریت کشاورزی (مانند رواناب، تبخیر و تعرق و آب‌های زیرزمینی) و متغیرهای گیاهی (مانند عملکرد) در حوضه‌های پیچیده با شرایط کاربری اراضی و نوع خاک متنوع گزینه مناسبی می‌باشد.

لیرونگ و جیونین (۲۰۰۸) تأثیر تغییرات آب و هوایی بر میزان رواناب و تبخیر و تعرق با مدل SWAT حوضه بیانگ را بررسی کردند و با قرار دادن ۱۵ سناریو در مدل کالیبره شده تحت کاربری اراضی ثابت به این نتیجه دست یافتند که تغییرات آب و هوایی بر میزان رواناب حوضه موثر است. همچنین نتایج نشان داد که با افزایش بارش و تغییر نکردن دما، میزان تبخیر و تعرق و رواناب بیشتر می‌شود. ژانگ و همکاران (۲۰۰۶)، عدم قطعیت هیدرولوژیکی را با ترکیب اثر دو سناریوی انتشار و هشت مدل گردش عمومی برای دو حوضه در شمال غرب اقیانوس آرام مورد بررسی قرار دادند. نتایج نشان داد، اثرات نسبی منابع گوناگون عدم قطعیت بین دو حوضه متفاوت است و تغییرات در نیمه‌ی دوم زمستان برای حوضه‌ای برف‌گیر، به دلیل تفاوت در مقدار و زمان ذوب برف نسبت به حوضه‌های بارانی بیشتر تحت تأثیر عدم قطعیت مدل هیدرولوژیکی قرار دارد. بنابراین مطالعه اثرات تغییراقلیم در حوضه‌های برفی به دلیل عدم قطعیت قابل ملاحظه در پارامترهای مدل هیدرولوژیکی نیاز به تفسیر محظوظ‌تر پیش‌بینی‌ها دارد. مولینا و همکاران (۲۰۱۴) با استفاده از مدل SWAT به بررسی اثرات منفی تغییراقلیمی بر منابع آب ترکیه پرداختند، نتایج شبیه‌سازی نشان داد که تمام مولفه‌های رژیم آبی کاهش یافته در نتیجه تنفس آبی و دما افزایش یافته است. همچنین می‌توان به مطالعات تان و همکاران (۲۰۱۵) در رودخانه جوهارمالزیا و بیگر و همکاران (۲۰۱۵) در حوضه‌های کوهستانی چین در رابطه مستقیم با تغییراقلیم بر دبی

رودخانه اشاره کرد. پیراس و همکاران (۲۰۱۶) در مطالعه‌ای با استفاده از ریزمقیاس نمایی آماری، تاثیر تغییراقلیم را بر بارندگی و دبی اوج مناطق مدیترانه‌ای بررسی کردند، نتایج نشان داد که استفاده از ریزمقیاس نمایی آماری برای شبیه‌سازی تغییرات اقلیمی کارایی بالایی دارد.

تان و همکاران (۲۰۱۷) به بررسی پیامدهای تغییر اقلیم بر روی منابع آب حوضه آبریز کلاندان مالزی براساس سناریوهای ودادشت تابشی پرداختند. نتایج نشان داد در دوره آینده براساس سناریوهای ودادشت تابشی، میزان دما افزایش خواهد داشت. برش در ماه‌های سرد سال به طور ناچیز افزایش خواهد داشت اما در ماه‌های گرم نسبت به دوره پایه با کاهش همراه خواهد بود. در اثر افزایش دمای هوا، میزان تبخیر-تعرق پتانسیل نیز افزایش خواهد یافت.

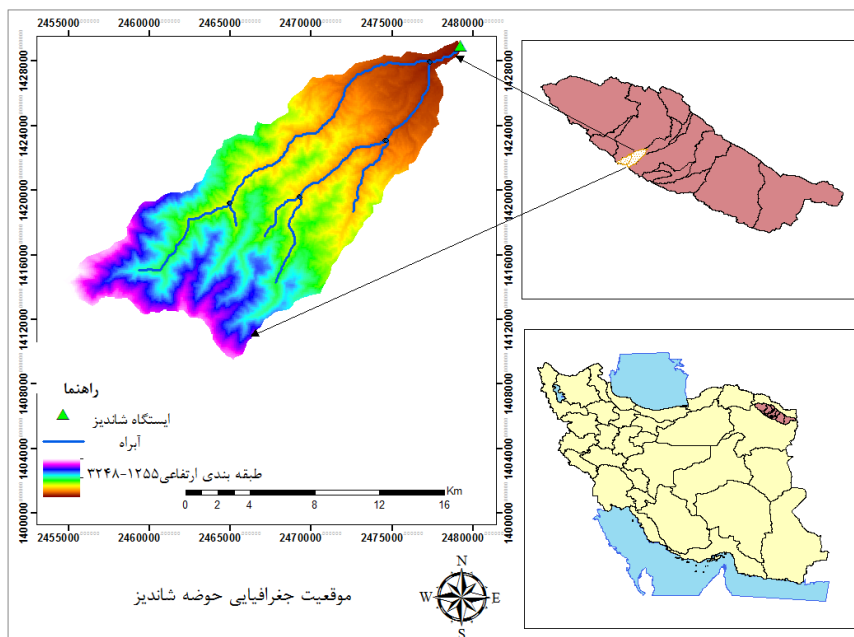
البته باید به این مهم توجه داشت که ارزیابی حساسیت مدل به تغییرات آب و هوایی لزوماً یک طرح از عوایق احتمالی تغییرات آب و هوایی را ارائه نمی‌دهد، با این حال، چنین مطالعاتی بینش ارزشمندی را در حساسیت سیستم‌های هیدرولوژیکی در آینده به تغییرات اقلیمی فراهم می‌کنند (زانگ و همکاران، ۲۰۱۱).

از دیدگاه هیدرولوژیمی، مهمترین پیامد تغییر اقلیم، افزایش رخدادهای حدی هیدرولوژیمی در اکثر مناطق کره زمین می‌باشد، به طوریکه با افزایش میانگین دمای کره زمین وقوع بارش‌های سنگین و سیل آسا بیشتر شده است. برای کاهش پیامدها و همچنین سازگاری با تغییر اقلیم در زمینه افزایش رخدادهای حدی هیدرولوژیکی نیازمند تغییر در مدیریت آبهای سطحی و رواناب وجود دارد. تغییر در برخی متغیرهای هیدرولوژیمی مانند PMP و PMF و آستانه‌های بارش‌های سیل آسا نیازمند تغییر در برخی دستورالعمل‌های استاندارد مهندسی سازه در طراحی دهانه پل‌ها، ارتفاع تاج سد‌ها، طراحی سیستم جمع آوری و مدیریت آبهای سطحی در مناطق شهری می‌باشد (IPCC, ۲۰۱۴).

با توجه به افزایش مخاطرات اقلیمی ناشی از افزایش مقادیر متغیرهای حدی اقلیمی در نقاط مختلف دنیا، ایران نیز از این تغییر مستثنی نبوده و اثرات آن در بسیاری از مناطق مشاهده شده است. در این میان حوضه‌ی آبریز شاندیز، در سالهای اخیر با انواع مخاطرات هیدرولوژیمی از جمله سیل و بارش‌های ناگهانی و خشکسالی‌ها پیاپی مواجه بوده است. در این مطالعه به ارزیابی اثر تغییرات اقلیم بر مقادیر حدی اقلیمی این حوضه با استفاده از ریزمقیاس کردن بارش و دما مدل CanESM<sup>۲</sup> با کمک مدل SDSM و شبیه‌سازی رواناب با مدل SWAT در دهه های آینده پرداخته می‌شود.

## داده‌ها و روش کار

حوضه‌ی آبریز شاندیز در طول جغرافیای  $۱۵^{\circ}$  تا  $۳۵^{\circ}$  و عرض جغرافیایی  $۲^{\circ}$  تا  $۴^{\circ}$  قرار دارد و از شمال به ارتفاعات هزار مسجد، و از جنوب به ارتفاعات بینالود محدود می‌شود. این حوضه‌ی آبریز جزء مناطق کم بارش در ایران محسوب می‌گردد. بارندگی کم و تبخیر و تعرق و پتانسیل بالای از ویژگی‌های منطقه محسوب می‌شود. شکل (۱) موقعیت حوضه‌ی آبریز شاندیز در ایران و همچنین ایستگاه‌های مورد مطالعه در سطح حوضه را نشان می‌دهد.



شکل (۱): موقعیت حوضه‌ی آبریز شاندیز در ایران

در این تحقیق از آمار ایستگاه سینوپتیک مشهد واقع در حوضه آبریز شاندیز در یک دوره آماری ۳۰ ساله (۱۹۶۱-۱۹۹۰)، برای ریزمقیاس نمایی بارش، دمای حداکثر و دمای حداقل روزانه استفاده شده است. از آنجایی که خروجی مدل‌های گردش عمومی جو بزرگ مقیاس می‌باشند در این تحقیق از مدل ریزمقیاس نمایی SDSM استفاده شد. سه نوع داده برای ریزمقیاس نمایی توسط مدل SDSM مورد استفاده قرار گرفت که عبارتند از: متغیرهای بزرگ مقیاس در دو دوره گذشته (۱۹۶۱-۱۹۹۰) و آینده (۲۰۴۱-۲۱۰۰) حاصل از مدل گردش کلی CanESM<sup>۲۳</sup>، متغیرهای بزرگ مقیاس باز تحلیل از مرکز پیش‌بینی‌های محیطی آمریکا NCEP در دوره ۱۹۶۱-۱۹۹۰ و داده‌های دیدبانی بارش و دمای حداقل و حداکثر روزانه ایستگاه سینوپتیک مشهد. نرم افزار SDSM روابط آماری را بر مبنای روش رگرسیون خطی چندگانه بین متغیرهای اقلیمی بزرگ مقیاس (پیش‌بینی کننده‌ها) و محلی (پیش‌بینی شونده‌ها) محاسبه می‌کند. این روابط بر اساس داده‌های دیدبانی و بازتحلیل NCEP در دوره گذشته (۱۹۶۱-۱۹۹۰) به صورت ماهانه تهیه می‌شوند. فرض بر این است که این روابط برای آینده نیز صادق است. هر دو داده‌های دیدبانی و مدل نسبت به دوره ۱۹۶۱-۱۹۹۰ نرمالیزه می‌شوند. پیش‌بینی کننده‌های دیدبانی بزرگ مقیاس از داده‌های بازتحلیل NCEP بدست می‌آیند (Willby et al., ۲۰۰۲). طول دوره داده‌های NCEP ۲۰۰۵-۱۹۶۱ می‌باشد که شامل ۴۵ سال داده‌های پیش‌بینی کننده روزانه هستند که قبل از نرمالیزه شدن در شبکه اسلول‌هایی مشابه با ابعاد مدل گردش عمومی CanESM<sup>۲</sup> درونیابی شده‌اند. با اعمال روابط رگرسیون چندگانه استخراج شده ماهانه در دوره دیدبانی بر روی متغیرهای بزرگ مقیاس برونداد مدل گردش عمومی CanESM<sup>۲</sup> می‌توان متغیرهای این مدل را بر روی ایستگاه مذکور ریزمقیاس نمود.

در این تحقیق رفتار رخدادهای حدی اقلیمی وابسته به دما و بارش در ایستگاه مشهد در دوره مشاهداتی ۱۹۶۱-۱۹۹۰، دوره ۲۰۷۰-۲۱۰۰ و ۲۰۷۱-۲۱۰۰ تحت سه سناریو (RCP<sup>۲,۶</sup>, RCP<sup>۴,۵</sup>, RCP<sup>۸,۵</sup>) پیش‌بینی می‌

<sup>۲۳</sup> Canadian Earth System Model

گردد. قبل از مدل سازی تغییرات رخدادهای حدی در دهه های آتی، توانمندی روش مورد استفاده در شبیه سازی میانگین ها و رخدادهای حدی در دوره دیدبانی مورد بررسی و واسنجی قرار گرفتند که نتایج در جدول ۱ آورده شده اند. خطای شبیه سازی بارش  $0/1 - 5/7$  درصد و دما در حد  $0/05$  درجه سلسیوس می باشد. شبیه سازی بارش و دما در سطح اعتماد  $0/05$  معنی دار هستند.

جدول ۱: کارآیی مدل **SDSM** در شبیه سازی بارش و میانگین دمای سالانه در دوره دیدبانی

مشهد	دوره ۱۹۶۱-۹۰	فراسنج
۲۵۵	دیدبانی	میانگین بارش (%)
۲۴۰	شبیه سازی	
- ۵/۷	خطا(%)	
۱۴/۵	RMSE	میانگین دمای حداقل ( $^{\circ}\text{C}$ )
۲۱/۱۵	دیدبانی	
۲۱/۱۳	شبیه سازی	
- ۰/۰۹	خطا( $^{\circ}\text{C}$ )	میانگین دمای حداقل ( $^{\circ}\text{C}$ )
۰/۰۱	RMSE	
۶/۴۸	دیدبانی	
۶/۳۸	شبیه سازی	
- ۱/۵	خطا( $^{\circ}\text{C}$ )	
۰/۱	RMSE	

برای ارزیابی شاخص های حدی بارش و دما از نرم افزار **RCLimDex** استفاده شده است. **RCLimDex** به وسیله زانگ و یانگ در شعبه تحقیقات علمی سرویس هواشناسی کانادا توسعه یافته است. (Zhang, ۲۰۰۴). تیم کارشناسی آشکارسازی و نمایش تغییرات اقلیم و شاخص های (ETCCDI) بر اساس مجموعه استاندارد ۲۷ شاخص حدی در زبان برنامه نویسی R و بر اساس الگوریتم های بهبود یافته و کاهش خطای عددی طراحی کرده است (Zhang, ۲۰۰۴؛ ETCCDI (Zhang and Yang, ۲۰۰۴). به صورت مشترک بوسیله کمیسیون اقلیم شناسی، سازمان جهانی هواشناسی و برنامه جهانی دیدبانی داده ها، تغییرپذیری و پیش بینی اقلیم حمایت می شود (Sillmann and Roeckner, ۲۰۰۸). نرم افزار **RCLimDex** بر اساس آستانه های تعریف شده برای هر شاخص میزان شبیه آن ها را طی دوره آماری محاسبه می کند.

به منظور تحلیل شرایط اقلیمی دوره دیدبانی و آینده، از میان شاخص های معرفی شده توسط مرکز بین المللی ETCCDI، شاخص حدی دما شامل  $TMINmean$ ,  $TMAXmean$ ، و شاخص های حدی بارش شامل نمایه های حداقل بارش یک روزه ( $Rx1day$ ), حداقل بارش ۵ روزه متوالی ( $Rx5day$ ), تعداد روزهای با بارش مساوی و یا بیشتر از ۱۰، ۲۰ و ۳۰ میلیمتر ( $R30mm$ ,  $R20mm$ ,  $R10mm$ ), جمع سالانه بارش روزهای خیلی تر ( $R95p$ ), جمع سالانه بارش روزهای فوق العاده تر ( $R99p$ ) و جمع سالانه بارش روزهای تر ( $PRCPTOT$ ) محاسبه و روند تغییرات آنها در دوره مشاهداتی (۱۹۶۱-۱۹۹۰) و دوره آینده (۲۰۴۱-۲۰۰۰) محاسبه شده است.

در این پژوهش از مدل SWAT نیز جهت شبیه سازی و مدل سازی چشم انداز آتی دبی حوضه آبریز شاندیز استفاده شده است. اطلاعات هواشناسی مورد نیاز مدل SWAT عبارت اند از بارش، دمای حداقل، حداقل روزانه،

رطوبت نسبی و ساعات آفتابی که به صورت فایل اطلاعاتی به مدل معرفی می‌شود. اطلاعات توپوگرافی (DEM)، پوشش گیاهی و کاربری اراضی از دیگر داده‌های بعد از پردازش در محیط GIS به صورت رستر (Grid) در مدل SWAT استفاده شد. دبی ماهانه ایستگاه سرآسیاب شاندیز در یک دوره آماری ۱۰ ساله (۲۰۰۳-۲۰۱۲) استفاده شد.

مدل SWAT یک مدل فیزیکی و توزیعی است که برای پیش‌بینی اثر کاربری، تغییر اقلیم و مدیریت‌ها در حوضه‌های آبریز بزرگ و پیچیده توسعه داده شده است. برای شروع کار با مدل SWAT ۲۰۱۲، ابتدا نقشه رقومی ارتفاعی DEM حوضه آبریز شاندیز به محیط نرم افزار ArcGIS فراخوانده شد. شاخص فیزیوگرافی مختلف حوضه آبریز از مدل رقومی ارتفاعی زمین قابل استخراج هستند. با معرفی نقشه DEM حوضه، ابتدا شبکه آبراهه‌ها در حوضه به وسیله مدل SWAT تعیین و ترسیم شد و برای هر آبراهه، نقطه خروجی آن مشخص شد. سپس محدوده و مرز حوضه آبریز با توجه به توپوگرافی شبکه آبراهه‌ها ترسیم و در پایان حوضه به زیرحوضه‌های مختلف تقسیم بندی شد. سپس مدل SWAT با استفاده از نقشه‌های خاک، کاربری اراضی حوضه که به مدل معرفی شده است و همچنین نقشه شبیه حوضه (تشکیل شده بوسیله مدل با استفاده از DEM) زیر حوضه‌ها را به واحدهای پاسخ هیدرولوژیکی (HRUs) تقسیم می‌شوند که بخش‌هایی از زیر حوضه‌ها با پوشش‌ها، مدیریت و خصوصیات خاک می‌باشد. SWAT از روش عدد منحنی اصلاح شده (USDA Soil Conservation Service, ۲۰۰۱) یا روش نفوذ Green and Ampt جهت محاسبه حجم رواناب سطحی برای هر HRU استفاده می‌کند. برای هر HRU از رابطه شماره ۱ محاسبات در مدل SWAT انجام می‌گیرد.

$$\Delta SW = \sum_{i=1}^t (R_{day} - Q_{surf} - E_a - W_{seep} - Q_{gw}) \quad (1)$$

در این رابطه  $\Delta SW$  = آب ذخیره شده در خاک،  $R_{day}$  = بارش روزانه،  $Q_{surf}$  = رواناب سطحی،  $E_a$  = تبخیر و تعرق واقعی،  $W_{seep}$  = آبی که از پروفیل خاک به منطقه غیراشباع وارد می‌شود و  $Q_{gw}$  = جریان آب زیرزمینی خروجی به رودخانه می‌باشد. مقدار رواناب سطحی برای هر واحد پاسخ هیدرولوژیکی جداگانه شبیه‌سازی می‌شود که باعث افزایش دقت تخمین مدل می‌شود. در این مطالعه برای واسنجی مدل SWAT از نرم افزار SWAT-CUP استفاده می‌شود (عباسپور و همکاران). با استفاده از آن واسنجی و عدم قطعیت‌ها در ارتباط با SWAT به راحتی انجام پذیر است. برای این منظور در این مطالعه از داده‌های دبی ماهانه ایستگاه سرآسیاب شاندیز در سالهای ۲۰۰۳-۲۰۱۲، استفاده شده است که دوره واسنجی مدل دبی ماهانه سال‌های (۲۰۰۶-۲۰۱۰) و دوره اعتبار سنجی مدل (۲۰۱۱-۲۰۱۲) می‌باشد. برای ارزیابی نتایج مدل در شبیه‌سازی رواناب از دو ضریب ( $E_{NS}$ ) Nash-Sutcliffe و ضریب تعیین ( $R^2$ ) استفاده خواهد شد. هر چه عدد  $E_{NS}$  و  $R^2$  به مقدار یک تزدیکتر باشند، دبی‌های شبیه‌سازی شده دقت مطلوب تری خواهند داشت.

$$R^2 = \frac{[\sum_{i=1}^n (O_i - \bar{O})(S_i - \bar{S})]^2}{\sum_{i=1}^n (O_i - \bar{O})^2 \sum_{i=1}^n (S_i - \bar{S})^2} \quad (2)$$

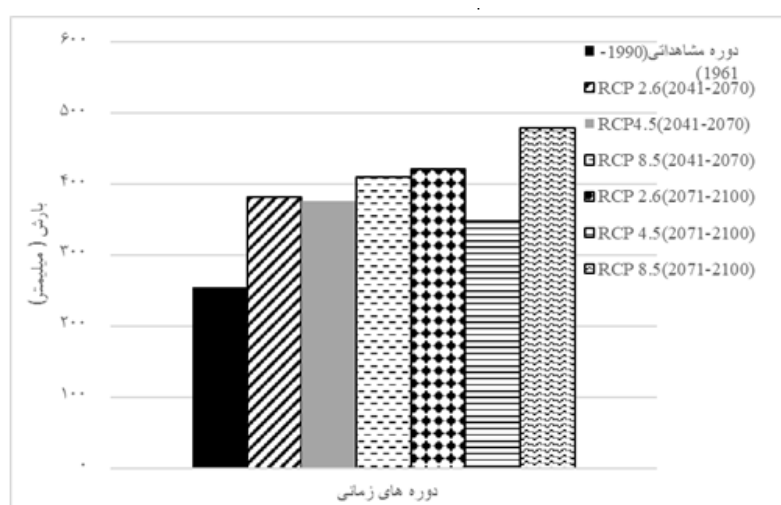
$$E_{NS} = 1 - \frac{\sum_{i=1}^n (S_i - O_i)^2}{\sum_{i=1}^n (O_i - \bar{O})^2} \quad (3)$$

در این روابط  $\bar{O}$  و  $\bar{S}$  به ترتیب متوسط دبی مشاهداتی و شبیه سازی شده است. برای تحلیل نتایج واسنجی از شاخص نش - ساتکلیف (NS) استفاده شد. عموماً اگر ضریب ناش ساتکلیف از ۰/۷۵ بیشتر باشد مدل عالی و کامل، و اگر بین ۰/۳۶ تا ۰/۷۵ باشد، رضایت بخش و اگر کمتر از ۰/۳۶ باشد غیرقابل قبول فرض می شود(ناش و ساتکلیف، ۱۹۷۰). همچنین طبق گزارش موریاسی اگر ضریب ناش ساتکلیف بیشتر از ۰/۶۵ باشد نتایج واسنجی و اعتبار سنجی خیلی خوب، اگر بین ۰/۵ تا ۰/۶۵ نتایج مناسب و اگر کمتر از ۰/۵ باشد نتایج واسنجی و اعتبار سنجی رضایت بخش نیست(موریاسی ۲۰۰۷).

## شرح و تفسیر نتایج

### الف- متغیرهای اقلیمی

**میانگین بارش:** در این تحقیق حاضر ابتدا داده های اقلیمی برای دو دوره آتی (۲۰۴۱-۲۰۷۱) و (۲۰۷۰-۲۱۰۰) بر اساس سناریوهای  $RCP2.6$ ,  $RCP4.5$ ,  $RCP8.5$  و  $RCP2.6$ ,  $RCP4.5$ ,  $RCP8.5$  مدل CanESM<sup>۲</sup> توسط مدل SDSM ریزمقیاس شده است. بارش سالانه ایستگاه مشهد در دوره دیدبانی ۱۹۶۱-۱۹۹۰ به مقدار ۲۴۹/۷ میلیمتر می باشد. در جدول ۲، چشم انداز تغییرات بارش در ایستگاه مشهد در دو دوره آتی ۲۰۴۱-۲۰۷۰، ۲۰۷۱-۲۱۰۰ تحت سه سناریوی انتشار  $RCP2.6$ ,  $RCP4.5$ ,  $RCP8.5$  و  $RCP2.6$ ,  $RCP4.5$ ,  $RCP8.5$  آورده شده است. همانطور که دیده می شود در ایستگاه مشهد و تحت هر سه سناریوی انتشار میانگین بارش سالانه دوره های آتی نسبت به دوره دیدبانی افزایش یافته است. بیشترین افزایش میانگین بارش ماهانه در دوره های آتی نسبت به دوره دیدبانی مربوط به ماه های می و اکتبر می باشد (شکل ۲). بارش سالانه در دهه ۱۹۶۱-۲۰۷۰ بین ۳۷ تا ۵۴ درصد نسبت به دوره دیدبانی افزایش می یابد، و میزان افزایش بارش دهه ۱۹۷۱-۲۱۰۰ بین ۵۲ تا ۶۶ درصد افزایش می یابد.



شکل ۲: تغییرات بارش سالانه (میلیمتر) در ایستگاه مشهد در دوره دیدبانی (۱۹۶۱-۱۹۹۰) و دو دوره ۲۰۴۱-۲۰۷۰ و ۲۰۷۱-۲۱۰۰ تحت سه سناریوی انتشار  $RCP2.6$ ,  $RCP4.5$ ,  $RCP8.5$  و  $RCP2.6$ ,  $RCP4.5$ ,  $RCP8.5$ .

جدول ۲: درصد تغییرات در میانگین بارش ماهانه در ایستگاه مشهد نسبت به دوره دیدبانی (۱۹۶۱-۱۹۹۰) در دو دوره ۲۰۷۰-۲۰۷۱

 تحت سه سناریوی انتشار RCP<sub>۴,۵</sub>, RCP<sub>۲,۶</sub> و RCP<sub>۱,۰</sub> و ۲۰۱۰-۲۰۷۱

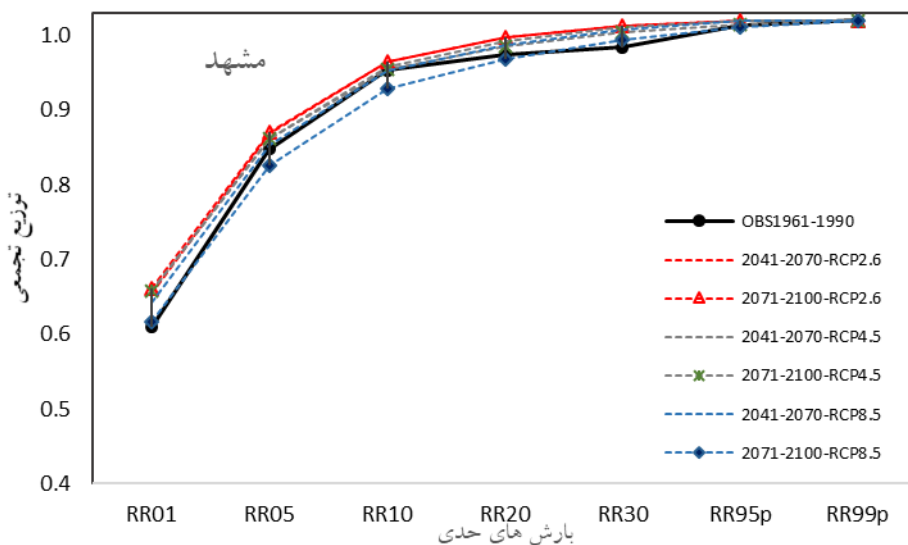
۲۰۷۱-۲۱۰۰			۲۰۴۱-۲۰۷۱			۱۹۶۱-۱۹۹۰	
RCP ۸,۵	RCP ۴,۵	RCP ۲,۶	RCP ۸,۵	RCP ۴,۵	RCP ۲,۶		
۳۴/۶	۲۳/۹	۳۲/۸	۲۹/۳	۳۵/۲	۳۱/۷	۳۴/۱	ژانویه
۵۳/۴	۳۵	۳۰/۴	۳۱/۸	۳۳/۹	۳۵/۸	۳۳/۸	فوریه
۷۰/۸	۵۸	۵۵	۴۴/۵	۴۶/۹	۵۷	۵۲	مارس
۵۷/۷	۵۴/۳	۵۱/۳	۶۰/۶	۵۶/۵	۶۴/۹	۴۸/۲	آوریل
۱۰۵	۹۰	۱۵۱	۱۱۲	۱۰۸	۸۶/۹	۴۹/۷	می
۱۰	۹/۲	۱۲	۹/۸	۱۳	۱۷	۵/۱	ژوئن
۱/۴	۲	۱/۳	۱/۷	۱/۷	۱/۷	۱	جولای
۱/۴	۰/۹	۰/۷	۰/۹	۰/۸	۰/۹	۰/۷	اگوست
۱۴	۹/۸	۵	۱۶/۸	۹	۴/۸	۱/۳	سپتامبر
۱۰	۱۰	۱۰	۱۰	۱۰	۱۰	۹/۶	اکتبر
۴۶/۴	۲۴/۷	۳۴/۴	۳۵/۳	۳۳/۸	۳۷	۱۵	نوامبر
۷۳	۲۹/۲۵	۳۶/۲	۵۶/۲	۲۵/۸	۳۵/۵	۲۴/۲	دسامبر

بارش های حدی: جدول (۳) تغییرات تعداد روزهای با بارش مساوی و یا بیشتر از ۱۰، ۲۰ و ۳۰ میلیمتر ( $R30mm$ ,  $R20mm$ ,  $R10mm$ ), مجموع سالانه بارش روزهای خیلی تر ( $p_{R95}$ ), مجموع سالانه بارش روزهای فوق العاده تر ( $p_{R99}$ ), را نشان می دهد. با توجه به نتایج بدست آمده تعداد روزهای با بارش سنگین در دو دهه ای آینده نسبت به دوره دیدبانی افزایش می یابد. شکل (۳) نشان می دهد، تعداد روزهای با بارش های بیشتر از صد ک ۹۵ و ۹۹، در دو دهه ای آینده و تحت هرسه سناریو نسبت به دوره دیدبانی افزایش می یابد. بارش های صد ک ۹۵ بین ۴۳ درصد تا ۱۱۹ درصد و بارش های صد ک ۹۹ بین ۴۷ درصد تا ۹۳ درصد در سالهای (۲۰۴۱-۲۰۱۰) نسبت به دوره دیدبانی افزایش می یابند که نشان از سیل آسا شدن بارش های دهه های آتی و افزایش مخاطرات اقلیمی ناشی از بارش های سنگین و سیل آسا می گردد (جدول ۴). این موضوع در شکل ۳ نشان داده شد است. مطابق شکل مذکور،تابع توزیع تجمعی بارش در دهه های آینده به گونه ای است که نشان از افزایش بارش های حدی دارد.

جدول ۳: درصد تغییرات شاخص های حدی بارش ایستگاه مشهد نسبت به دوره دیدبانی (۱۹۶۱-۱۹۹۰) در دو دوره ۲۰۷۰-۲۰۷۱

 تحت سه سناریوی انتشار RCP<sub>۱,۰</sub>, RCP<sub>۲,۶</sub> و RCP<sub>۴,۵</sub> و ۲۰۱۰-۲۰۷۱

۲۰۷۱-۲۱۰۰				۲۰۴۱-۲۰۷۱				دوره مشاهداتی	
RCP ۸,۵		RCP ۴,۵		RCP ۲,۶		RCP ۸,۵			
تعداد روز	CV%	تعداد روز	CV%						
۴۰۵	۷۵	۳۳۴	۴۴	۳۳۲	۴۳	۳۷۱	۶۰	۳۲۹	۴۲
۱۶۲	۲۳۱	۱۱۴	۱۳۳	۱۱۲	۱۲۹	۱۲۸	۱۶۱	۱۱۴	۱۳۳
۱۰۱	۴۳۱	۶۶	۲۴۷	۵۷	۲۰۰	۷۳	۲۸۴	۶۵	۲۴۲
۱۱۹	۵۳	۱۱۵	۴۹	۱۱۳	۴۷	۱۱۶	۵۰	۱۰۹	۴۳
۳۷	۹۳	۲۳	۵۳	۲۳	۵۳	۲۴	۶۰	۲۲	۴۷



شکل(۳): نمودار تابع توزیع تجمعی طبقات مختلف بارش در ایستگاه مشهد

حداکثر بارش در ۵ روزه: یکی از نمایه های حدی استاندارد که توسط سازمان جهانی هواشناسی برای مطالعه تغییر اقلیم توصیه شده است، حداکثر بارش در رویدادهای بارشی با تداوم پنج روزه می باشد. حداکثر بارش ۵ روزه در دوره آینده نسبت به دوره دیدبانی افزایش خواهد یافت. در جدول ۴، تغییرات فصلی حداکثر بارش های پنج روزه نشان داده شده است. تغییرات فصلی حداکثر بارش ۵ روزه، در دهه ۲۰۴۱-۲۰۷۰، تحت هر سه سناریوی RCP نشان داده شده است. افزایشات فصلی حداکثر بارش ۵ روزه بدون تغییر می باشد و افزایش می یابد. و در دهه ۲۰۷۱-۲۱۰۰ تحت سناریوی RCP<sub>4,5</sub>، حداکثر بارش ۵ روزه بدون تغییر می باشد و تحت دو سناریوی RCP<sub>2,6</sub> و RCP<sub>8,5</sub> حداکثر بارش ۵ روزه نسبت به دوره دیدبانی افزایش می یابد. در فصل تابستان و پاییز میزان تغییرات شاخص حدی مذکور در سال های آینده نسبت به دوره دیدبانی، بیشتر از فصول بهار و زمستان است. این یافته ها همسو با نتایج پژوهش های باباییان و همکاران (۱۳۸۸) و بابایی فینی (۱۳۹۵) می باشد. افزایش فراوانی رخداد بارش های سنگین احتمال وقوع مخاطرات هیدرواقلیمی (سیل) را افزایش می دهد. از آنجا که افزایش وقوع رخدادهای حدی آب و هوایی بر زیرساختهای اجتماعی و اقتصادی از قبیل کشاورزی، سلامت، منابع آب، خدمات عمومی تاثیر زیادی می گذارد (استرینگ و همکاران، ۲۰۰۰)، لذا پیشنهاد می شود دستورالعمل ها و استانداردهای ساخت تاسیسات زیربنایی گذشته مورد بازنگری قرار گرفته به نحوی که مقاومت سازه ها و تاسیسات نسبت به بارش های سیل آسا افزایش یابد.

جدول ۴: تغییرات فصلی حداکثر بارش های پنج روزه (به میلیمتر) ایستگاه مشهد نسبت به دوره دیدبانی (۱۹۶۱-۱۹۹۰) در دو دوره ۲۰۷۰ و ۲۰۱۰ و ۲۰۴۱-۲۰۷۱ تحت سه سناریوی انتشار  $RCP4.5$  و  $RCP8.5$

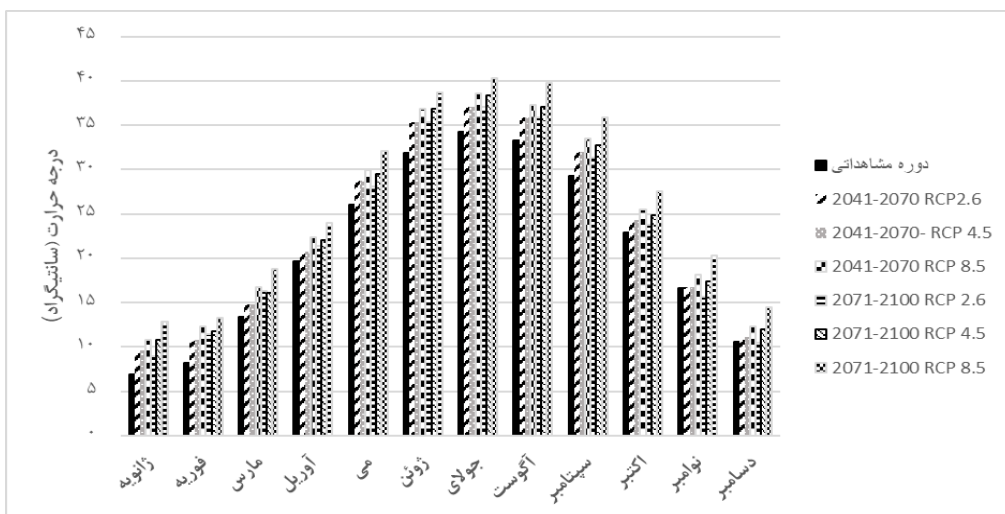
زمستان		پاییز		تابستان		بهار			
CV%	بارش mm	CV%	بارش mm	CV%	بارش mm	CV%	بارش mm		
	۱۹/۴		۷/۴		۲/۲		۲۵/۹	دوره دیدبانی	۱۹۶۱-۱۹۹۰
۵٪	۲۰/۲	۱۰۸٪	۱۴/۶	۱۳۶٪	۴/۸	۳۱/۰۵٪	۳۳/۹	$RCP_{2.6}$	۲۰۴۱-۲۰۷۰
۰٪	۱۹	۹۵٪	۱۳/۶	۱۳۶٪	۴/۶	۰/۲۱٪	۲۵/۹	$RCP_{4.5}$	
۵٪	۲۰	۹۴٪	۱۴	۱۳۶٪	۴/۶	۱۱٪	۲۸/۷	$RCP_{8.5}$	
۰٪	۱۹	۱۰۸٪	۱۵/۲	۹۱٪	۴/۲	۲۵/۹٪	۳۶/۶	$RCP_{2.6}$	۲۰۷۱-۲۱۰۰
۱۰٪	۲۱/۱	۹۵٪	۱۴/۵	۹۱٪	۴	۲۵/۹٪	۳۲/۹	$RCP_{4.5}$	
۱۵٪	۲۲	۱۳۵٪	۱۷	۱۳۷٪	۵/۲	۲۵/۲٪	۳۲/۴	$RCP_{8.5}$	

دماهی حداکثر: با توجه به شکل ۴، میانگین دماهی حداکثر در ایستگاه مشهد تحت سه سناریوی انتشار  $RCP2.6$ - $RCP4.5$  و  $RCP8.5$  افزایش یافته است که افزایش دماهی حداکثر در دهه ۲۰۷۱-۲۱۰۰ بیشتر از دهه ۲۰۴۱-۲۰۷۰ می باشد. به طور کلی میانگین دماهی حداکثر در تمام فصول در ایستگاه مشهد و تحت هر سه سناریو نسبت به دوره گذشته افزایش خواهد یافت. بیشترین افزایش در میانگین دماهی حداکثر فصلی به میزان ۶/۵ درجه سلسیوس در تابستان در دهه ۲۰۸۰ رخ خواهد داد، و بیشترین افزایش میانگین دماهی حداکثر ماهانه در ماه ژوئن و جولای در هر دو دوره ی آتی و تحت هرسه سناریوی  $RCP2.6$ ,  $RCP4.5$  و  $RCP8.5$  می باشد (جدول ۵).

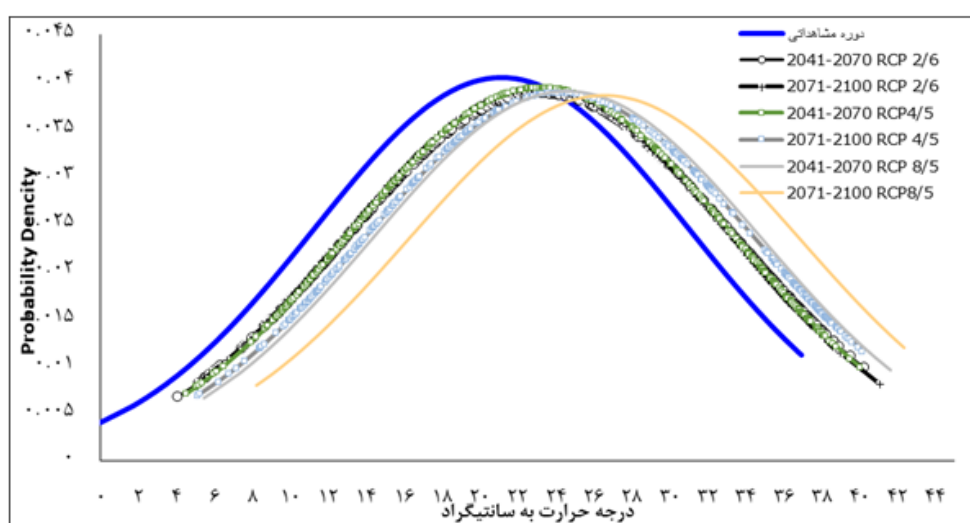
در شکل ۵، مقایسه مقادیر و تایع توزیع حداکثر دماهی ماهانه تحت سناریوهای انتشار گوناگون در دو دوره آتی آورده شده است. ملاحظه می شود که ضمن جابجایی الگوی دماهی بیشینه به سمت مقادیر بیشتر، ارتفاع منحنی دماهی بیشینه نیز نسبت به دماه دوره پایه افزایش یافته است. افزایش دما نقش مهمی در افزایش شدت خشکی که منجر به وقوع بیشتر رخدادهای حدی خشکسالی می شود دارد، همچنین می تواند باعث بیابان زایی، کاهش منابع آب و کاهش تولیدات کشاورزی ناشی از خرابی و نابودی محصولات کشاورزی شود؛ (Chamchati and Bahir, ۲۰۱۱; Fernández et.al, ۲۰۱۳; McFadden and Miranowski, ۲۰۱۴)

جدول(۵): درصد تغییرات میانگین دمای حداکثر(درجه سلسیوس) سالانه و فصلی ایستگاه مشهد نسبت به دوره دیدبانی  $RCP^{8,5}$  و  $RCP^{4,5}$  و  $RCP^{2,6}$  تحت سه سناریوی انتشار  $2041-2070$  و  $2071-2100$  در دو دوره  $1961-1990$  و  $2070-2041$

۲۰۷۱-۲۱۰۰			۲۰۴۱-۲۰۷۰			۱۹۶۱-۹۰	
$RCP^{8,5}$	$RCP^{4,5}$	$RCP^{2,6}$	$RCP^{8,5}$	$RCP^{4,5}$	$RCP^{2,6}$	دیدبانی	
۵	۲/۹	۱/۷	۳/۲	۱/۹	۱/۹	۸/۵	زمستان
۵/۲	۲/۸	۲/۲	۳/۳	۱/۷	۱/۷	۱۹/۷	بهار
۶/۴	۴/۳	۲/۹	۴/۴	۲/۹	۲/۹۴	۳۳/۱	تابستان
۴/۹	۲	۰/۶	۲/۷	۱/۳	۱/۴	۲۲/۹	پاییز
۵/۴	۳	۱/۸	۳/۴	۲	۲/۰۱	۲۱/۱	سالانه

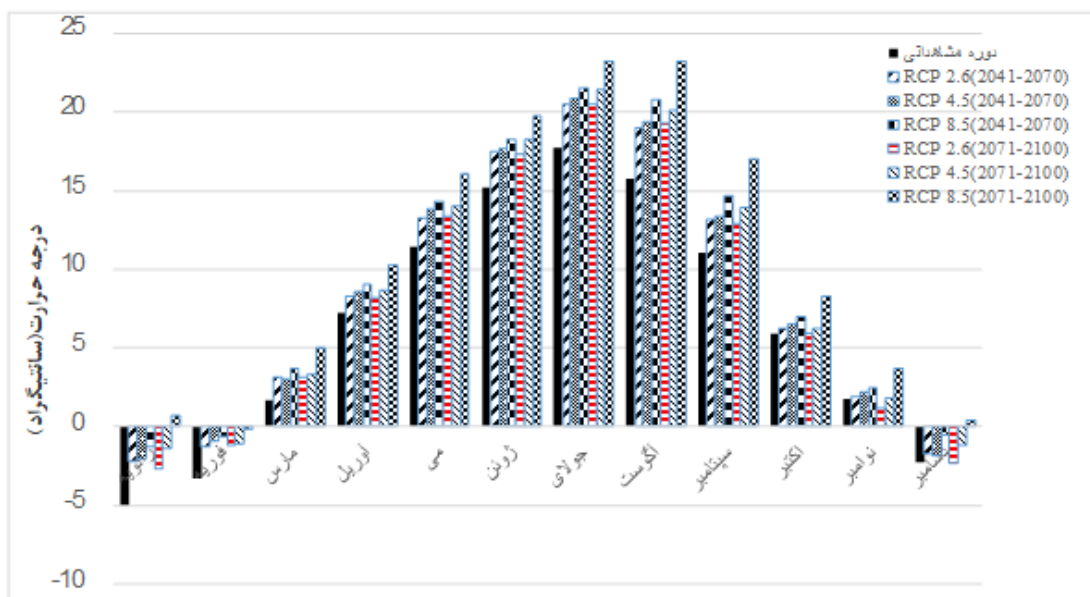


شکل(۴): میانگین دمای حداکثر(سانتی گراد) ماهانه ایستگاه مشهد در دوره دیدبانی (۱۹۶۱-۱۹۹۰) و دو دوره  $2041-2070$  و  $2071-2100$  تحت سه سناریوی انتشار  $RCP^{8,5}$  و  $RCP^{4,5}$  و  $RCP^{2,6}$



شکل ۵: توزیع حداکثر دمای ماهانه در ایستگاه مشهد نسبت به دوره دیدبانی (۱۹۶۱-۱۹۹۰) در دو دوره  $2041-2070$  و  $2071-2100$  تحت سه سناریوی انتشار  $RCP^{8,5}$  و  $RCP^{4,5}$  و  $RCP^{2,6}$

دماهی حداقل: با توجه به شکل ۶ میانگین دمای حداقل ماهانه در ایستگاه مشهد در دو دوره ۲۰۴۱-۲۰۷۰ و ۲۰۱۰۰-۲۰۷۱ تحت سه سناریوی انتشار  $RCP^{4,5}$ ,  $RCP^{2,6}$  و  $RCP^{8,5}$  نسبت به دوره دیدبانی (۱۹۶۱-۱۹۹۰) افزایش یافته است. افزایش میانگین دمای حداقل در دهه ۲۰۷۱-۲۱۰۰ بیشتر از دهه ۲۰۴۱-۲۰۷۱ می‌باشد. به طور کلی میانگین دمای حداقل در تمام فصول در دوره آتی و تحت هر سه سناریو نسبت به دوره گذشته افزایش خواهد یافت. بیشترین افزایش ضریب تغییرات میانگین دمای حداقل فصلی به بیش ۱۰٪ درصد مربوط به فصل زمستان در دوره ۲۰۷۱-۲۱۰۰ سناریوی  $RCP^{8,5}$  می‌باشد (جدول ۶). یکی از اثرات منفی افزایش دما بر منابع آب از طریق افزایش تبخیر تشدید می‌گردد و از کم و کیف منابع آب خواهد کاست. از طرف دیگر افزایش دما منجر به تغییر شکل بارش زمستانی در منطقه مورد مطالعه از برف به باران شود (منصوری و همکاران، ۱۳۹۳).



شکل (۶): میانگین دمای حداقل (سانتی گراد) ماهانه ایستگاه مشهد در دوره دیدبانی (۱۹۶۱-۱۹۹۰) و دو دوره ۲۰۴۱-۲۰۷۰ و ۲۰۱۰۰-۲۰۷۱ تحت سه سناریوی انتشار  $RCP^{2,6}$ ,  $RCP^{4,5}$ ,  $RCP^{8,5}$  و  $RCP^{8,5}$ .

جدول ۶: درصد تغییرات دمای حداقل فصلی و سالانه ایستگاه مشهد در دو دوره ۲۰۴۱-۲۰۷۰ و ۲۰۷۱-۲۱۰۰ و ۲۰۱۰۰-۲۰۷۱ تحت سه سناریوی انتشار  $RCP^{2,6}$ ,  $RCP^{4,5}$ ,  $RCP^{8,5}$  و  $RCP^{8,5}$  نسبت به دوره دیدبانی (۱۹۶۱-۱۹۹۰)

۲۰۷۱-۲۱۰۰						۲۰۴۱-۲۰۷۰						۱۹۶۱-۱۹۹۰
RCP8,5		RCP4,5		RCP2,6		RCP8,5		RCP4,5		RCP2,6		
ضریب تغییرات/%	درجه حرارت											
۵۵/۱	۱۰/۴	۲۲/۱	۸/۶	۳۳/۵	۸/۲	۲۵/۷	۹	۲۵/۷	۸/۵	۲۱/۸	۸/۲	۶/۷
۳۵/۷	۲۲	۱۶/۹	۱۹/۹	۲۴/۱	۱۹	۱۸/۸	۲۰/۲	۱۸/۸	۱۹/۳	۱۶/۸	۱۹	۱۶/۲
۵۴/۷	۹/۶	۶/۸	۷/۳	۲۸/۸	۶/۶	۱۷/۹	۸/۰۴	۱۷/۹	۷/۳	۱۴/۱۸	۷/۱	۶/۲
۱۰/۹/۴	+۰/۳	۴۰/۸	-۱/۲	۷۷/۳	-۲	۵۴/۸	-۰/۸	۵۴/۸	-۱/۶	۴۹/۶	-۱/۷	-۳/۵
۶۴/۹	۱۰/۷	۲۳/۶	۸/۷	۴۱/۳	۸/۰۱	۳۰/۳	۹/۱	۳۰/۳	۸/۴	۲۶/۴	۸/۲	۶/۴

### ب- متغیرهای هیدرولوژی

تحلیل حساسیت، واسنجی و اعتبار سنجی مدل: از آن جایی که امکان این وجود ندارد که تمام پارامترها در فرایند واسنجی استفاده شوند، بنابراین، ابتدا یک انتخاب اولیه از پارامترهای موثر بر جریان صورت می‌گیرد که

براساس حوضه و تحقیقات انجام شده قبلی می باشد. در این مطالعه، با توجه به مطالعات سالهای اخیر که به مطالعه رواناب و جریان رودخانه پرداخته بودند(Yang et al, ۲۰۰۷). ابتدا برای ایستگاه سرآسیاب شاندیز ۲۵ پارامتر انتخاب شد و سپس روش آنالیز حساسیت مطلق (تغییر یکی از پارامترها در حالی که سایر پارامترها ثابت نگه داشته شده اند) در نرم افزار SWAT-CUP<sup>۲</sup> ( Abbaspour, ۲۰۰۹) اجرا شد. ابتدا برای هر پارامتر یک دامنه معقول و نسبتاً بزرگ، به صورت نسبی (یعنی: یک بعلاوه / منهای دامنه، ضرب در مقدار اولیه) و یا به صورت دامنه مطلق انتخاب می شود، سپس در نرم افزار مذکور این دامنه به پنج قسمت مساوی تقسیم شده و برای هر مقدار مدل SWAT اجرا می شود و نتایج با داده های مشاهده شده براساس تغییر ایجاد شده در تابع هدف، مقایسه می شوند. در نهایت ۱۲ پارامتر نسبتاً حساس مطابق جدول ۷، به دست آمد که در ادامه از آن ها در فرایند واسنجی استفاده شده است.

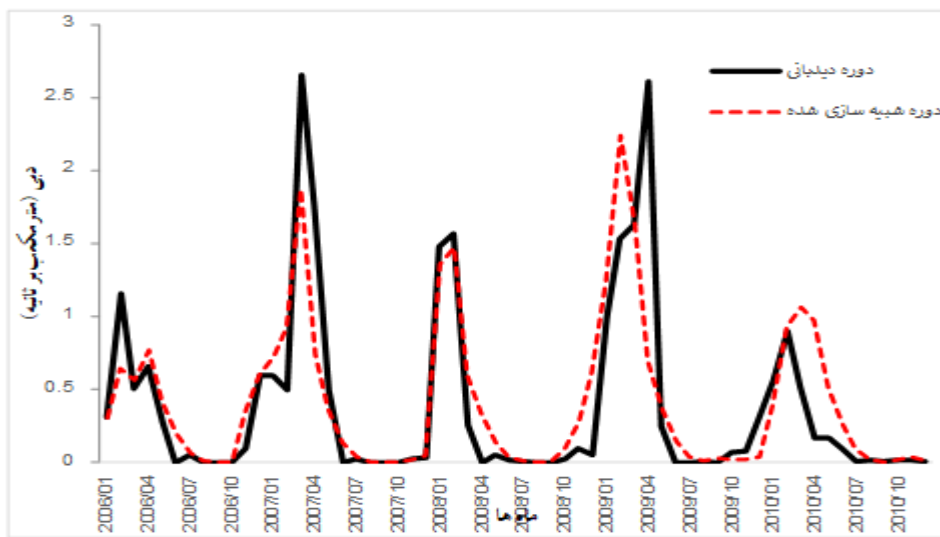
دوره واسنجی بین سالهای ۲۰۰۶-۲۰۱۰ می باشد، نتایج واسنجی مدل در شکل ۷ آورده شده است. دوره صحت سنجی سالهای ۲۰۱۲-۲۰۱۱ می باشد شکل ۸ دبی شبیه سازی شد در دوره صحت سنجی رانشان می دهد. جدول(۸) وضعیت عملکرد مدل SWAT را در دو دوره واسنجی و صحت سنجی نشان می دهد که با ضریب نش ۰/۶۵ در دوره واسنجی و ضریب نش ۰/۴۹ در دوره صحت سنجی به خوبی توانسته است الگوی تغییرات دبی منطقه مورد مطالعه را شبیه سازی کند.

جدول(۷): مقادیر پارامترهای واسنجی شده مدل SWAT

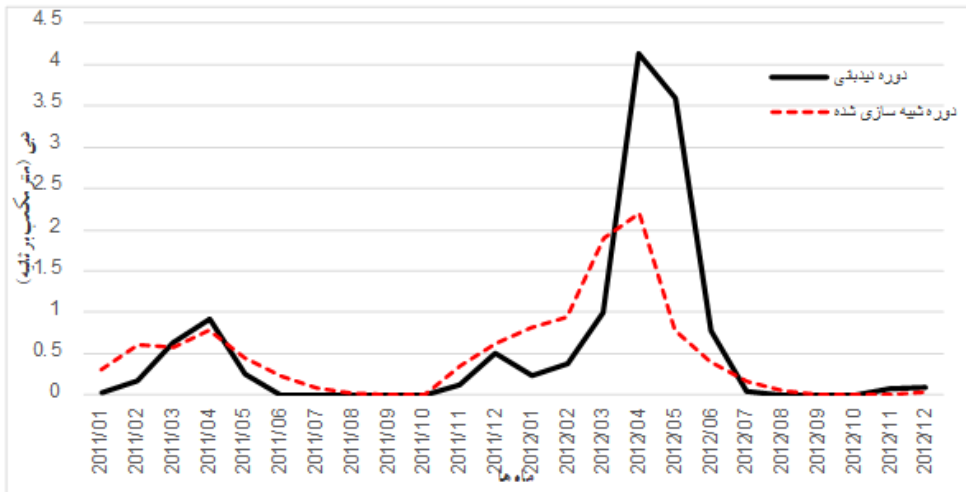
پارامتر	تعريف پارامتر	دانمه تغییرات	مقدار نهایی
CN <sup>۲</sup>	CN عدد	۳۸-۹۸	۶۳/۶۳
ALPHA_BF	ضریب آلفای آب زیرزمینی	۰-۱	۰/۷۷۱
GW_DELAY	زمان تاخیر جریان آب زیرزمینی (روز)	۰-۳۰۰	۶۲/۵۷
GWQMN	عمق آستانه آب در لایه کم عمق برای اینکه جریان پایه یا برگشتی اتفاق بیفتد. (mmH <sub>2</sub> O)	۰-۵۰۰۰	۴۷۲۱/۶۶
SOL_BD	جرم مخصوص خاک (gr/cm <sup>۳</sup> )	۰/۹- ۲/۵	۰/۹۵
SOL_K	ضریب هدایت هیدرولیکی در خاک (mm/hr)	۰-۲۰۰۰	۰/۱۸۸
ESCO	فاکتور تبخیر آب از خاک	۰-۱	۰/۶۰۹
EPCO	ضریب جبران جذب گیاه	۰/۰۱ - ۱	۰/۹۲۳
CH_N <sup>۲</sup>	ضریب مانیتگ در رودخانه	۰/۰ ۱ - ۰/۳	۰/۱۹۳۲۸
CH_K <sup>۲</sup>	هدایت هیدرولیکی موثر در کanal اصلی	۰-۱۵۰	۳۲/۴۱
SURLAG.bsn	ضریب تاخیر رواناب سطحی (روز)	۱-۲۴	۱/۷۸
SMFMN	نرخ ذوب برف در دسامبر (mmH <sub>2</sub> O/°C- day)	-۵ _ ۵	۲/۹۸۷

جدول(۸): شاخص عملکرد مدل هیدرولوژی SWAT برای شبیه سازی جریان ماهانه حوضه آبریز شاندیز

۰/۶۵	E <sub>NS</sub>	R <sup>۲</sup>
۰/۶۵	۰/۶۵	۲۰۰۳-۲۰۱۰
۰/۴۹	۰/۴۹	۲۰۱۱-۲۰۱۲



شکل(۷): نتایج واسنجی مدل SWAT برای شبیه سازی جریان ماهانه حوضه آبریز شاندیز (۲۰۱۰-۲۰۰۳)

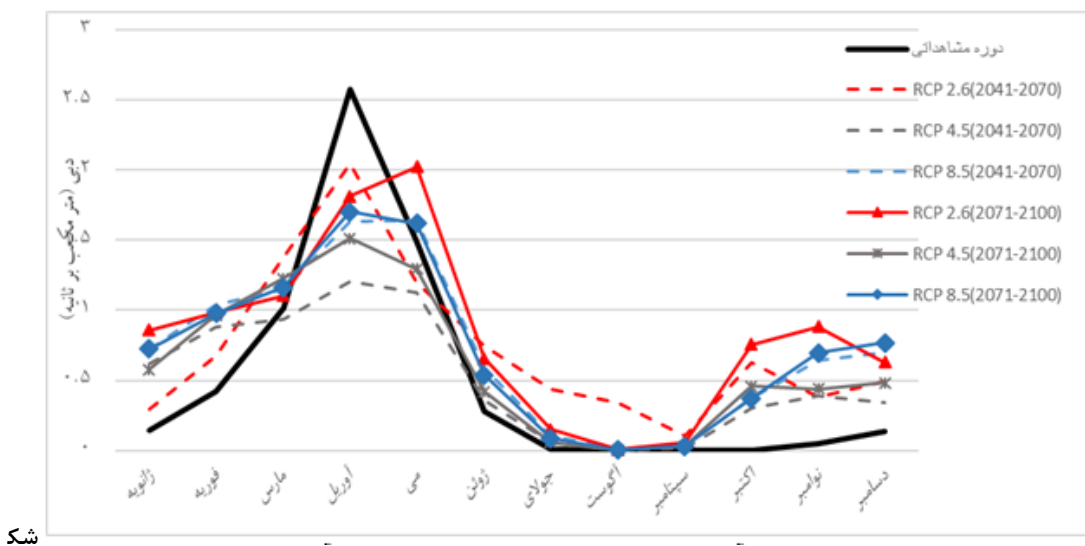


شکل(۸): نتایج ارزیابی مدل SWAT برای شبیه سازی جریان ماهانه حوضه آبریز شاندیز (۲۰۱۲-۲۰۱۱)

نتایج مدل ریزمقیاس نمایی SDSM نشان می دهند که مدل مذکور توانایی شبیه سازی متغیرهای بارش، دمای حداکثر و دمای حداقل روزانه را در دوره مورد مطالعه دارا بوده و خطای مدل سازی در حد قابل قبولی می باشد، بنابراین می توان از مدل SDSM ریزمقیاس نمایی متغیرهای بارش و دما استفاده کرد. نتایج مدل بارش دبی SWAT نشان می دهد که این مدل توانایی شبیه سازی دبی ماهانه را دارد و خطای مدل سازی در حد قابل قبولی می باشد، لذا از مدل SWAT با لحاظ پارامترهای واسنجی شده می توان در شبیه سازی دبی حوضه استفاده کرد.

**شبیه سازی تغییرات رواناب در دهه های آینده:** در ادامه با معرفی سری های زمانی ریزمقیاس شده دمای حداکثر و دمای بارش ریز مقیاس شده توسط مدل SDSM، به مدل SWAT سری زمانی ماهانه رواناب حوضه آبریز شاندیز در ایستگاه سرآسیاب شاندیز برای دو دوره ۲۰۱۰-۲۰۷۰ و ۲۰۴۱-۲۰۷۰ تحت سه سناریوی انتشار RCP<sub>4,5</sub> و RCP<sub>2,6</sub>، شبیه سازی گردید. شکل(۹) سری زمانی دبی ماهانه ایستگاه سرآسیاب شاندیز در دوره های دیدبانی، دو دهه های ۲۰۶۰ و ۲۰۸۰ تحت سه سناریوهای انتشار RCP<sub>4,5</sub> و RCP<sub>2,6</sub>، مدل

CanESM2 نشان دهنده افزایش رواناب در تمام ماه های سال بجز ماه های مارس، آوریل و می است. تنها بر طبق سناریوی RCP2,6 دهه ۲۰۴۱-۲۰۷۰ در تمام ماه ها ماهانه نسبت به دوره دیدبانی افزایش می یابد. در جدول (۹) مقدار میانگین دبی سالانه ایستگاه سرآسیاب شاندیز در دوره دیده بانی و دو دوره ۲۰۴۱-۲۰۷۰ و ۲۰۷۱-۲۰۱۰۰ تحت سه سناریوی انتشار RCP2,6, RCP4,5, RCP8,5 و درصد تغییرات میانگین دبی سالانه دهه های آتی نسبت به دوره دیدبانی آورده شده است. روند متوسط سالانه نشان می دهد دبی در دهه های آتی افزایش خواهد یافت. کمترین افزایش میانگین سالانه دبی مربوط به دهه ۲۰۴۱-۲۰۷۰ سناریوی RCP4,5، با ۱/۵۶ درصد افزایش نسبت به دوره دیدبانی است. بیشترین افزایش میانگین سالانه رواناب ماهانه مربوط به دهه ۲۰۷۱-۲۰۱۰۰ سناریوی RCP2,6 با ۱۰۴/۵۳ درصد رواناب نسبت به دوره دیدبانی افزایش می یابد. در نتیجه دبی خروجی حوضه شاندیز در ایستگاه سرآسیاب در دهه های آینده بین ۱۰۴ تا ۱۰۴/۵۶ درصد افزایش خواهد یافت.



ل ۹: میانگین دبی ماهانه در ایستگاه سرآسیاب شاندیز دوره دیدبانی (۲۰۱۲-۲۰۰۳) و دو دوره آتی ۲۰۴۱-۲۰۷۰ و ۲۰۱۰۰-۲۰۷۱ تحت سه سناریوی انتشار RCP2,6, RCP4,5, RCP8,5 و RCP2,6, RCP4,5, RCP8,5

جدول ۹: درصد تغییرات در میانگین دبی سالانه ایستگاه سرآسیاب شاندیز نسبت به دوره دیدبانی در دو دوره ۲۰۴۱-۲۰۷۰ و ۲۰۷۱-۲۰۱۰۰ تحت سه سناریوی انتشار RCP2,6, RCP4,5, RCP8,5 و RCP2,6, RCP4,5, RCP8,5

۲۰۷۱-۲۱۰۰		۲۰۴۱-۲۰۷۰		دوره دیدبانی	
دبی	ضریب تغییرات٪	دبی	ضریب تغییرات٪	دوره دیدبانی	
۱۰۴/۵۳	۱۲/۵۳	۵۷/۱۱	۹/۶۳	RCP 2,6	۶/۱۳
۶۶/۲۲	۱۰/۱۹	۱/۵۶	۶/۲۲	RCP 4,5	
۸۵/۱۵	۱۱/۳۵	۸۴/۱۹	۱۱/۲۹	RCP 8,5	

سرآسیاب شاندیز

### نتیجه گیری

در این پژوهش پس از ریزگردانی داده های مدل اقلیمی، شاخص های حدی بارش و دما در سه دوره ۳۰ ساله برای دوره های پایه و آینده مورد بررسی و شناسایی قرار گرفت. میانگین بارش سالانه دهه های آینده ایستگاه مشهد نسبت به دوره دیدبانی افزایش یافته است. بررسی روند نمایه های حدی بارش ایستگاه مشهد در دو دوره ۲۰۴۱-۲۰۷۰ و ۲۰۷۱-۲۱۰۰ نشان می دهد، تعداد روزهای بارش مساوی و یا بیشتر از ۱۰، ۲۰ و ۳۰ میلیمتر (R30mm, R20mm, R10mm, R3mm) در این دوره های پایه و آینده مورد بررسی و شناسایی قرار گرفت.

جمع سالانه بارش روزهای خیلی تر ( $R95$  p)، جمع سالانه بارش روزهای فوق العاده تر ( $R99$  p) و حداکثر بارش ۵ روزه نسبت به دوره دیدبانی افزایش می‌یابد.

میانگین دمای حداقل و حداکثر ماهانه در ایستگاه مشهد در دو دهه ۱۹۶۱-۱۹۹۰ نسبت به دوره دیدبانی افزایش یافته است. افزایش میانگین دمای حداقل و حداکثر در دهه ۲۰۷۱-۲۱۰۰ بیشتر از دهه ۲۰۴۱-۲۰۷۱ می‌باشد. بیشترین افزایش در میانگین دمای حداکثر فصلی به میزان  $6/4$  درجه سلسیوس در تابستان در دهه ۲۰۸۰ رخ خواهد داد. بیشترین افزایش ضریب تغییرات میانگین دمای حداقل فصلی به بیش از  $10/9$  درصد مربوط به فصل زمستان در دوره ۲۱۰۰-۲۰۷۱ بر طبق سناریوی RCP $8.5$  می‌باشد.

با تلفیق دو مدل اقلیمی SDSM و هیدرولوژی SWAT چشم انداز رواناب حوضه آبریز شاندیز در شمال شرق کشور مورد بررسی قرار خواهد گرفت. در این مرحله خروجی‌های بارش و دما حاصل از مدل SDSM به عنوان ورودی مدل SWAT معرفی شدند، نتایج نشان دادند که دبی خروجی حوضه شاندیز در ایستگاه سرآسیاب به میزان  $6/22$  تا  $12/53$  مترمکعب بر ثانیه معادل  $1/56$  تا  $10/4$  درصد افزایش خواهد یافت.

نتایج این تحقیق می‌تواند برای سازگاری با تغییر اقلیم و مدیریت مخاطرات جوی و اقلیمی در دستگاههای ذیربط مانند سازمان مدیریت بحران، وزارت جهاد کشاورزی، شرکت آب منطقه‌ای، سازمان هواشناسی کشور و برنامه‌های توسعه بلند مدت مورد استفاده قرار گیرد.

#### منابع

- بابایان، ایمان؛ زهراء، نجفی نیک. فاطمه، زابل عباسی. مجید، حبیبی نوخدان. حامد، ادب و شراره، مليوسی. ۱۳۸۸. ارزیابی تغییر اقلیم کشور در دوره ۲۰۱۱-۲۰۳۹ با استفاده از ریزمقیاس نمایی داده‌های مدل گردش عمومی جو ECHO-G. *مجله جغرافیا و توسعه*, ۱۶: ۱۳۶-۱۵۲.
- بابایی فینی، ام السلمه؛ الله، قاسمی و ابراهیم، فتاحی. بررسی اثر تغییر اقلیم بر روند نمایه‌های حدی بارش ایران. ۱۳۹۵. نشریه تحلیل فضایی مخاطرات محیطی, ۳: ۸۶-۱۰۴.
- دولابیان، شهاب. ۱۳۹۶. بررسی اثر تغییر اقلیم بر بارش و دمای مناطق مختلف کشور ایران بر اساس سناریوهای RCP، پایان‌نامه کارشناسی ارشد، دانشگاه صنعتی شاهرود. شاهرود.
- منصوری، بهاره؛ حجت، احمدزاده. علیرضا، مساح بوانی. سعید، مرید. مجید، دلاور و سعید، لطفی. ۱۳۹۳. بررسی اثرات تغییر اقلیم بر منابع آب حوضه زرینه رود با استفاده از مدل SWAT. نشریه آب و خاک (علوم و صنایع کشاورزی), ۶: ۱۲۰۳-۱۱۹۱.

Abbaspour, K.C. ۲۰۰۹. User manual for SWAT-CUP $\gamma$ , SWAT calibration and uncertainty analysis programs. *Swiss Federal Institute of Aquatic Science and Technology*, Eawag, Duebendorf, Switzerland, ۹۰ pages.

Alexander, L.V.; X. Zhang, T.C. Peterson, J. Caesar, B. Gleason, A.M.G. Klein Tank, and A. Tagipour. ۲۰۰۶. Global observed changes in daily climate extremes of temperature and precipitation. *Journal of Geophysical Research: Atmospheres*, 111(D $\circ$ ).

Badrul, M.M.; P. Soni, S. Shrestha, and N.K. Tripathi. ۲۰۱۶. Changes in Climate Extremes over North Thailand, ۱۹۶۰-۲۰۹۹. *Journal of Climatology*, ۲۰۱۶: ۱۸-۳۳.

- Bell, J.L.; L.C. Sloan, and M.A. Snyder. ۲۰۰۴. Regional changes in extreme climatic events: A future climate scenario. *Journal of Climate*. ۱۷(۱): ۸۱-۸۷.
- Beniston, M.; D.B. Stephenson, O.B. Christensen, C.A. Ferro, C. Frei, S. Goyette, and K. Woth. ۲۰۰۷. Future extreme events in European climate: An exploration of regional climate model projections. *Climatic Change*, ۸۱(۱): ۷۱-۹۰.
- Brunetti, M.; L. Buffoni, F. Mangianti, M. Maugeri, and T. Nanni, T. ۲۰۰۴. Temperature, precipitation and extreme events during the last century in Italy. *Global and Planetary Change*, 40(1): ۱۴۱-۱۴۹.
- Chamchat, H.; and M. Bahir. ۲۰۱۱. Contribution of climate change on water resources in semi-arid areas: Example of the Essaouira Basin (Morocco). *American Journal of Scientific and Industrial Research*. ۲(۲): ۲۰۹-۲۱۰.
- Cheema, S.B.; G. Rasul, G. Ali, D.H. Kazmi D.H. ۲۰۱۳. A Comparison of Minimum Temperature Trends with Model Projections. *Pakistan Journal of Meteorology*. ۸: ۳۹-۵۲.
- Collins, M.; R. Knutti, J.M. Arblaster, J.L. Dufresne, T. Fichefet, P. Friedlingstein, and M. Wehner. ۲۰۱۳. Chapter 12 - Long-term climate change: Projections, commitments and irreversibility. In: *Climate Change 2013: The Physical Science Basis. IPCC Working Group I Contribution to AR5*. Eds. IPCC, Cambridge: Cambridge University Press.
- Deryng, D.; D. Conway, N. Ramankutty, J. Price, and R. Warren. ۲۰۱۴. Global crop yield response to extreme heat stress under multiple climate change futures. *Environmental Research Letters*, 9(۴): ۰۴۴۰۱.
- Easterling, D.R., Meehl, G.A., Parmesan, C., Changnon, S.A., Karl, T.R., Mearns, L.O. (۲۰۰۰), Climate extremes: Observations, modeling, and impacts. *Science*, 289(5487): 2068-2074.
- Fan, L., Xiong, Z. (۲۰۱۰), Using quantile regression to detect relationships between large-scale predictors and local precipitation over northern China, *Advances in Atmospheric Sciences*, 27(4), pp 541-552.
- Faramarzi, M.; K.C. Abbaspour, R. Schulin, and H. Yang, ۲۰۰۹. Modelling blue and green water resources availability in Iran. *Hydrological Processes*. ۲۳: 486-501.
- Folland, C. K.; T.R. Karl, and M. Jim Salinger. ۲۰۰۲. Observed climate variability and change. *Weather*, 57(8): 269-278.
- IPCC. ۲۰۰۷. Summary for Policymakers in Climate Change, The Physical Science Basis, Contribution of Working Group I to the Fourth Assessment Report of the Intergovernmental Panel on Climate Change, Cambridge University Press, Cambridge. PP. ۱-۱۸.
- Intergovernmental Panel on Climate Change (IPCC). Summary for Policymakers. In ClimateChange ۲۰۱۳: The Physical Science Basis; Contribution of Working Group I to the IPCC Fifth Assessment Report Climate Change; Cambridge University Press: Cambridge, UK; New York, NY, USA, ۲۰۱۳.
- IPCC. ۲۰۱۴. Annex II: glossary. K. J. Mach, S. Planton, C. von Stechow (Eds.), Climate change ۲۰۱۴: synthesis report. Contribution of Working Groups I, II and III to the Fifth Assessment Report of the Intergovernmental Panel on Climate Change. In: Core Writing Team, Pachauri RK, Meyer LA (Eds.), IPCC, Geneva, Switzerland, pp. 117-130.
- Ha, K. J.; and K. S. Yun. ۲۰۱۲. Climate change effects on tropical night days in Seoul, Korea. *Theoretical and Applied Climatology*. 109(1-2): 191-203.
- Liu, J.; S. Fritz, C. F. A. Van Wesenbeeck, M. Fuchs, L. You, M. Obersteiner, and H. Yang. ۲۰۰۸. A spatially explicit assessment of current and future hotspots of hunger in Sub-Saharan Africa in the context of global change. *Global and Planetary Change*. 64(4): 222-225.
- Hoogwijk M., Faaij, A., de Vries, B. and Turkenburg, W. ۲۰۰۹. Exploration of Regional and Global Cost-Supply Curves of Biomass Energy from Shortrotation Crops at Abandoned Cropland and Rest Land under Four IPCC SRES Land-use Scenarios, *Biomass & Bioenergy*, 33: 26-43.

- Kharin, V. V.; F. W. Zwiers, X. Zhang, and M. Wehner, ۲۰۱۳. Changes in temperature and precipitation extremes in the CMIP<sup>o</sup> ensemble. *Climatic Change*, 119(۴): ۳۴۰-۳۵۷.
- Klein T.; F. W. Zwiers, X. Zhang, ۲۰۰۹. Guideline on analysis of extremes in a changing climate in support of informed decisions for adaptation, *WMO Publication*, ۷۲: ۵۰pp.
- Klein, T.; A. M. G. Wijngaard, J. B., Können, G. P., Böhm, R., Demarée, G., A. Gocheva, and R. Heino, ۲۰۰۲. Daily dataset of ۲۰th-century surface air temperature and precipitation series for the European Climate Assessment. *International journal of climatology*, 22(۱۲): ۱۴۴۱-۱۴۵۳.
- Kundzewicz Z.W., Mata L.J., Arnell N.W., D'oll P., Kabat P., Jiménez B., Miller K.A., Oki T., Sen Z. and Shiklomanov I.A. ۲۰۰۷. Freshwater resources and their management. Climate Change ۲۰۰۷: Impacts, Adaptation and Vulnerability. Contribution of Working Group II to the Fourth Assessment Report of the Intergovernmental Panel on Climate Change, edited by: Parry, M. L. Canziani O. F. Palutikof J. P. van der Linden P. J. and Hanson C. E. Cambridge University Press, Cambridge, UK, ۱۷۳-۲۱۰, ۲۰۰۷.
- Marengo, J. A.; S. C. Chou, R. R. Torres, A. Giarolla, L. M. Alves, and A. Lyra, ۲۰۱۴. Climate change in central and South America: Recent trends, future projections, and impacts on regional agriculture. Working Paper, No ۷۴.
- Meehl, G. A.; F. Zwiers, J. Evans, T. Knutson, L. Mearns, and P. Whetton, ۲۰۰۷. Trends in extreme weather and climate events: Issues related to modeling extremes in projections of future climate change. *Bulletin of the American Meteorological Society*, 81(۷): ۴۲۷-۴۳۶.
- Merritt W.S., Alila Y., Barton M., Taylor B., Cohen S. and Neilsen D. ۲۰۰۷. Hydrologic response to scenarios of climate change in subwatersheds of the Okanagan basin, British Columbia. *Journal of Hydrology*, 326, ۷۹-۱۰۸.
- Molina E.; D. Trolle, S. Martinez, and A. Sastre, ۲۰۱۴. Hydrological and Water quality impact assessment of a Mediterranean Limon-reservoir under climate change and land use management Scenarios. *Hydrology*, 50(۹): ۳۵۴-۳۶۶.
- Moriasi, D. N.; J. G. Arnold, M. W. Van Liew, R. L. Bingner, R. D. Harmel, and T. L. Veith, ۲۰۰۷. Model evaluation guideline for systematic quantification of accuracy in watershed simulation. *American Society of Agricultural and Biological Engineers ISSN ۰۰۰۱-۲۳۵۱ Transactions of the ASABE*, 50(۳): ۸۸۰-۹۰۰.
- Moss, R. H.; J. A. Edmonds, K. A. Hibbard, M. R. Manning, S. K. Rose, D. P. Van Vuuren, and T. J. Wilbanks, ۲۰۱۰. The next generation of scenarios for climate change research and assessment. *Nature*, 463(7282): 747-756.
- Muhire, I.; and F. Ahmed, ۲۰۱۶. Spatiotemporal trends in mean temperatures and aridity index over Rwanda. *Theoretical and Applied Climatology*, 123(1-2): 399-414.
- Murphy, J. ۱۹۹۲. An evaluation of statistical and dynamical techniques for downscaling local climate. *Journal of Climate*, 19(9): 2026-2022.
- Nandintsetseg, B.; J. S. Greene, and C. E. Goulden, ۲۰۰۷. Trends in extreme daily precipitation and temperature near Lake Hövsgöl, Mongolia. *International Journal of Climatology*, 27(3): 341-347.
- Nash J. E.; and J. V. Sutcliffe, ۱۹۷۰. River flow forecasting through conceptual models. Part I –A discussion of principles. *Journal of Hydrology* 10: 282-290.
- Plattner, G. K.; T. F. Stocker, ۲۰۱۰. From AR<sup>۴</sup> to AR<sup>۵</sup>: New Scenarios in the IPCC Process. Workshop Report.
- Piras, M.; G. Mascaro, R. Deidda, and E. Vivonia, ۲۰۱۶. Impacts of climate change on precipitation and discharge extremes through the use of statistical downscaling approaches in a Mediterranean basin. *Total Environment*, 563: 960-980.
- Seneviratne, S. I.; M. G. Donat, B. Mueller, and L. V. Alexander, ۲۰۱۴. No pause in the increase of hot temperature extremes. *Nature Climate Change*, 4(3): 161-163.

- Setegn S. G. ۲۰۱۰. Modeling hydrological and hydrodynamic processes in lake Tana basin, Ethiopia. KTH. TRITA-LWR PhD Thesis ۱۰۵۷. Royal Institute of Technology. Sweden. Sudheer CH, Nitin ABK, Panigrahi BK and Shashi M, ۲۰۱۳. Streamflow forecasting by SVM with quantum behaved particle swarm optimization. *Neurocomputing* ۱۱۱: ۱۸–۲۳.
- Sillmann, J. and E. Roeckner. ۲۰۰۸. Indices for extreme events in projections of anthropogenic climate change. *Climatic Change*. ۸۶: ۸۳–۱۰۴.
- Tan, M. L., Yusop, Z., Chua, V. P., & Chan, N. W. (۲۰۱۷). Climate change impacts under CMIP<sup>۵</sup> RCP scenarios on water resources of the Kelantan River Basin, Malaysia. *Atmospheric Research*, ۱۸۹: ۱–۱۰.
- Taylor, K. E.; R. J. Stouffer, and G. A. Meehl. ۲۰۱۲. An overview of CMIP<sup>۵</sup> and the experiment design. *Bulletin of the American Meteorological Society*, 93(۴): ۴۸۰–۴۹۸.
- Vaghefi, S.A.; S. J. Mousavi, K. C. Abbaspour, R. Srinivasan, H. Yang. ۲۰۱۴. Analyses of the impact of climate change on water resources components, drought and wheat yield in semiarid regions: Karkheh River Basin in Iran. *Hydrol. Process.* ۲۸: ۲۰۱۸–۲۰۳۲.
- Van Liew M.W.; and J. Garbrecht J. ۲۰۰۳. *Hydrologic simulation of the Little Washita River experimental watershed using SWAT*. Journal of the American Water Resources Association ۳۹: ۴۱۲–۴۲۱.
- Willby, R. L., C. W. Dawson, and E. M. Barrow. ۲۰۰۲. SDSM—a decision support tool for the assessment of regional climate change impacts. *Environmental Modelling & Software*, 17: ۱۴۵–۱۵۷.
- Zhang, X.; G. Hegerl, F.W. Zwiers, and J. Kenyon, ۲۰۰۴: Avoiding inhomogeneity in percentile-based indices of temperature extremes. *J. Climate*, submitted.
- Zhang, X.; and F. Yang. ۲۰۰۴. RClimate (۱,۰) User Manual. Climate Research Branch Environment Canada Downsview, Ontario Canada
- Zhang, Q.; C. Liu, C. Xu, Y. Xu, Y, and T. Iang. ۲۰۰۶. Observed trends of annual maximum water level and streamflow during past ۱۳۰ years in the Yangtze River basin, China. *J. Hydrol.* ۳۲۴: ۲۰۰–۲۱۰.

